

КРАТКИЕ СООБЩЕНИЯ

УДК 541.49:548.73

КРИСТАЛЛИЧЕСКАЯ СТРУКТУРА КАТЕНА-2-ТИОБАРБИТУРАТА ДИТАЛЛИЯ(І)

Н. Н. Головнёв¹, М. С. Молокеев²

¹Сибирский федеральный университет, Красноярск

E-mail: ngolovnev@sfu-kras.ru

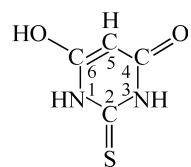
²Институт физики им. Л. В. Киренского СО РАН, Красноярск

Статья поступила 4 октября 2012 г.

Методом РСА порошка определена кристаллическая структура катена-2-тиобарбитурата диталлия(І), $C_4H_4N_2O_2S$ ($C_4H_4N_2O_2S$ — 2-тиобарбитуровая кислота, H_2TBA), Tl_2TBA . Кристаллографические данные Tl_2TBA : $a = 15,1039(3)$, $b = 12,0818(2)$, $c = 3,86455(6)$ Å, $\beta = 97,203(1)^\circ$, $V = 741,34(2)$ Å³, пр. гр. $P2_1/n$, $Z = 4$. В структуре имеется два неравнозначных атома таллия. Полиэдр Tl1 — искаженная тригональная призма с учетом укороченного контакта Tl—S (3,634 Å), полиэдр Tl2 — искаженная квадратная антипризма.

Ключевые слова: кристаллическая структура, катена-2-тиобарбитурат диталлия(І), водородные связи, π—π-взаимодействие.

Тиобарбитуровая кислота (4,6-дигидрокси-2-меркаптопиrimидин, $C_4H_4N_2O_2S$, H_2TBA), ее производные и комплексы с металлами являются биологически активными веществами [1, 2]. Используемая в качестве реагента тиобарбитуровая кислота существует в тион-енольной форме. Она образуется в результате перехода наиболее кислого протона CH_2 -группы к атому кислорода соседней карбонильной группы. Группа $\equiv C_6—OH$ является наиболее вероятным электронодонорным центром лиганда.

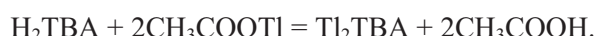


Другими связывающими металлами центрами лиганда могут служить атомы азота NH-группы и S. Комплексообразование ионов металлов, например кобальта(ІІІ) [3], обладающего большим химическим сродством к атому азота, приводит к отрыву протона от NH-группы и N,S-координации лиганда с образованием четырехчленного хелатного цикла. Образование связи металл—сера следует ожидать, в первую очередь, для "мягких" кислот Льюиса, например иона Tl^+ .

В настоящей работе описаны получение поликристаллического 2-тиобарбитурата диталлия(І), $C_4H_4N_2O_2STl_2$, Tl_2TBA и его структура, установленная методом РСА порошка.

Экспериментальная часть. Использовали CH_3COOTl (ЧДА), H_2TBA (ХЧ) и $LiOH$ (ХЧ).

Катена-2-тиобарбитурат диталлий(І), катена- Tl_2TBA (І). 0,10 г (4,2 ммоль) $LiOH$ растворяли в 4 мл воды, затем добавляли 0,20 г (1,4 ммоль) H_2TBA . После ее полного растворения вводили 0,74 г (2,8 ммоль) CH_3COOTl согласно реакции:



Образовавшийся бледно-желтый осадок отфильтровывали, промывали спиртом и сушили на воздухе. Результаты элементного анализа для I (найдено/вычислено, мас.%): C — 8,31/8,72, H — 0,42/0,36, N — 4,83/5,08, S — 6,15/5,82, Tl — 72,94/74,20.

PCA. Порошковая рентгенограмма I была отснята на дифрактометре 8 ADVANCE фирмы Bruker, используя линейный детектор VANTEC и $\text{CuK}\alpha$ -излучение. Использовали методику переменной скорости сканирования (VCT) и переменного шага (VSS). Время экспозиции увеличивалось с увеличением угла 2θ , приводя к значительному улучшению качества отснятой рентгенограммы [4]. Как правило, на полуширине пика (FWHM) должно укладываться 5—8 экспериментальных точек. Однако пики значительно уширяются с увеличением угла 2θ , поэтому шаг может быть увеличен в высокоугловых областях 2θ с целью уменьшения времени эксперимента [5].

Экспериментальная рентгенограмма была разбита на четыре части (рис. 1). Общее время эксперимента составило примерно 16,2 ч, а без использования методики переменного шага оно было бы больше 31 ч. Разбиение эксперимента на части для VCT/VSS было проведено в программе XRD Wizard [5]. Положение пиков определяли в программе EVA (2004 release) из программного пакета DIFFRAC-PLUS, поставляемой Bruker.

Параметры ячейки и пространственную группу определяли программой DASH 3.3 [6]. Поиск параметров дал моноклинную ячейку: $a = 15,1097$, $b = 12,8038$, $c = 3,8667 \text{ \AA}$, $\beta = 97,258^\circ$ ($M(24) = 29,1$; $F(24) = 58,8$). При помощи DASH 3.3 получен список наиболее вероятных пространственных групп в порядке убывания вероятности: $P2_1/n$ (log-probability score 20,99); $P2_1/a$ (15,14); Pn (11,78); $P2_1$ (9,22). Поэтому из всех была выбрана пространственная

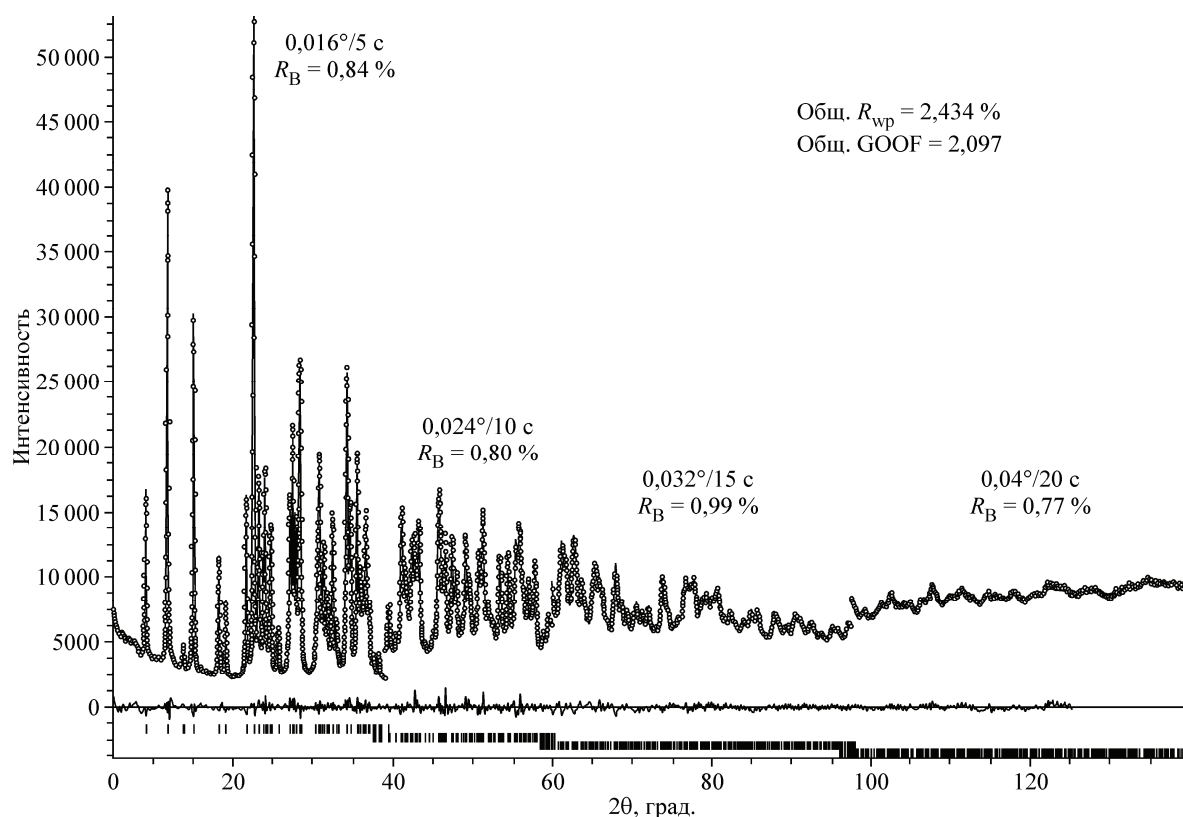


Рис. 1. Экспериментальная (точки), теоретическая (линия), и разностная (линия внизу) рентгенограммы результата уточнения Ритвельда кристалла I, а также Брэгговские R_B факторы, шаг/экспозиция для каждого участка рентгенограммы и общие для всех рентгенограмм профильный R_{wp} фактор вместе с GOOF (χ)

группа $P2_1/n$ как наиболее подходящая. Структура была решена методом ее моделирования в прямом пространстве с последующим фазовым отжигом в программе TOPAS 4.2 [7]. Объем ячейки соответствовал 9—12 атомам в независимой части, поэтому были сгенерированы один ион $C_4H_2N_2O_2S$ (TBA^{2-}) и два иона Tl^+ в независимой части ячейки. Фазовый отжиг дал модель структуры, используя которую проведено уточнение Ритвельда в TOPAS 4.2. С целью уменьшения числа уточняемых параметров использовали мягкое ограничение на длины связей в ионе TBA^{2-} . Средние значения длин связей для этой цели были взяты из монокристалльного эксперимента на кристалле КНТВА ($C_4H_3KN_2O_2S$) [8]. Кроме этого, добавлено мягкое ограничение на то, чтобы атомы в TBA^{2-} стремились находиться в одной плоскости. Координаты атомов водорода были идеализированы и уточнялись совместно с тяжелыми атомами в модели "наездника". Методика VCT позволила уточнить тепловые параметры обоих ионов Tl^+ в анизотропном приближении, что улучшило результат уточнения. Тепловые параметры всех неводородных атомов после уточнения имели нормальные значения. Поскольку атом азота N3 имел короткий контакт с атомом Tl2 $d(N3-Tl2) = 2,817(6)$ Å, то было решено ион водорода у N3 убрать. Уточнение шло стабильно и дало низкие R -факторы недостоверности для всех четырех областей (см. рис. 1). Поскольку структура успешно решена в пространственной группе $P2_1/n$, было решено не тестировать другие пространственные группы. Основные кристаллографические характеристики I и параметры эксперимента: брутто формула $C_4H_2N_2O_2STl_2$, $M_r = 550,91$, $a = 15,1039(3)$, $b = 12,0818(2)$, $c = 3,86455(6)$ Å, $\beta = 97,203(1)^\circ$, $V = 741,34(2)$ Å³, пр. гр. $P2_1/n$, $Z = 4$, $d_x = 4,936$ г/см³, $\mu = 84,787$ мм⁻¹, 2θ-интервал 5—140°, число рефлексов 1396, число уточняемых параметров 107, $R_{wp} = 2,434\%$, $R_{exp} = 1,161\%$, $R_p = 1,855\%$, GOOF (χ) = 2,097.

Графическое представление всех кристаллических структур и молекул построено в программе DIAMOND [9]. Структура депонирована в Кембриджском банке структурных данных и имеет номер 904109. Данные могут быть получены через сайт www.ccdc.cam.ac.uk/data_request/cif.

Результаты и их обсуждение. Структура комплекса Tl_2TBA представлена на рис. 2. Независимая часть ячейки содержит два иона Tl^+ и один анион TBA^{2-} . Гетероциклическую H_2TBA можно рассматривать как замещенную тиомочевину — малонилтиомочевину, так как она содержит в своем составе тионную группу C=S. Атом S вместе с двумя атомами O и одним атомом N связывают лиганд с ионами Tl^+ . В структуре I имеется два неравнозначных атома таллия. Ион TBA^{2-} по отношению к Tl1 является монодентатным O- или S-координированным лигандром, а Tl2 — как O- или S-монодентатным, так и N,S-бидентатным лигандром. Все лигандры являются мостиковыми. Каждый атом серы одновременно связан с тремя ионами Tl^+ , а атом кислорода с двумя ионами Tl^+ (см. рис. 2). Каждый ион TBA^{2-} мостиковыми связями связывает 7 ионов Tl^+ (4 Tl1 и 3 Tl2).

Атом Tl1 координирован четырьмя атомами кислорода (диапазон длин связей 2,79—3,29 Å) и двумя атомами серы (3,068(4) и 3,215(4) Å). Особенности упаковки приводят к образованию сравнительно редкой формы полизэдра Tl1 — тригональной призмы, в котором атом Tl1 связан с шестью ионами TBA^{2-} . Атом Tl2 координирован тремя атомами O (2,52—3,22 Å), двумя ато-

мами N (2,817(6) и 3,009(7) Å) и двумя атомами S (3,219(7) и 3,404(7) Å) (рис. 3). С учетом укороченного контакта Tl2—S (3,63 Å) полизэр Tl2 представляет искаженную квадратную антипризму (архимедову антипризму).

Полизэры Tl1 и Tl2 связаны тремя различными способами: общей вершиной (S или O1); общей гранью, образуемой парами атомов S и O2. Искаженные

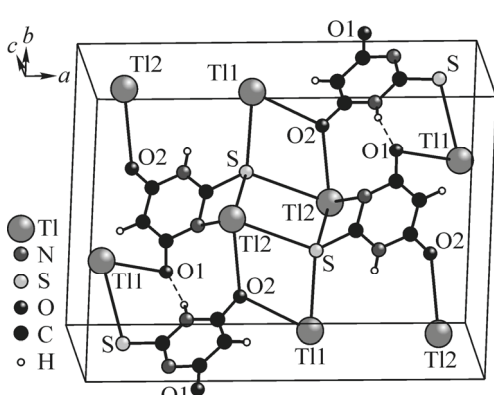


Рис. 2. Структура Tl_2TBA .
Пунктиром обозначены водородные связи

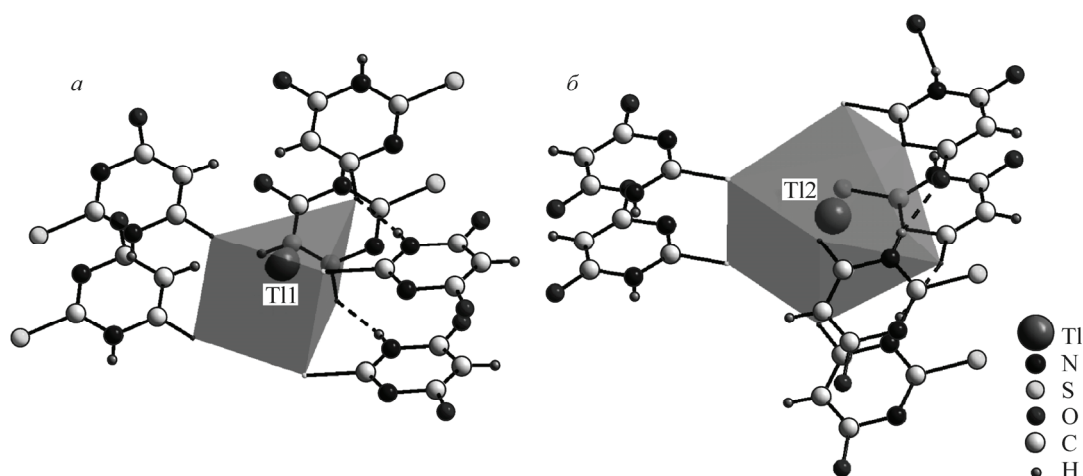


Рис. 3. Координационное окружение ионов: Tl1 (a); Tl2 (b).

Пунктиром обозначены межмолекулярные водородные связи

квадратные антипризмы с центральными атомами Tl2 связаны общим ребром S—S. Два полиэдра Tl1 связаны треугольной гранью из атомов S, O1 и O2. Пространство между полиэдрами вдоль оси *c* заполнено лигандами.

Угол N3—Tl2—S для бидентатного лиганда равен всего 51,92°. Это, наряду с наличием в ближайшем окружении разных донорных атомов (N, O, S), приводит к искажению структуры полиэдра Tl2. Искаженное тригонально-призматическое строение полиэдра Tl1 также можно отнести за счет участия в комплексообразовании разных донорных атомов (S и O) TBA²⁻. Кроме того, искаженная форма полиэдров может быть связана с влиянием на структуру неподеленной электронной пары 6s² иона Tl⁺.

Анализ структуры показал наличие одной межмолекулярной водородной связи (табл. 1), формирующей линейные цепочки ионов TBA²⁻ вдоль оси *b*, которые в целом вместе с ионами Tl⁺ образуют трехмерный каркас. Водородная связь N1—H1···O1 замыкает 8-членный цикл (см. рис. 2), которому соответствует структурный мотив R_l^1 (8) и 6-членный — R_l^1 (6). Анализ укороченных межмолекулярных контактов при помощи программы PLATON [10] показал наличие π — π -взаимодействия между центрами колец анионов TBA²⁻, его параметры сведены в табл. 2. Упаковка ионов TBA²⁻ осуществляется по типу "голова—голова" [11].

Таблица 1

Водородные связи D—H···A (\AA , град.) в структуре I

D—H···A	D—H	H···A	D···A	D—H···A
N1—H1···O1 ¹	0,86	2,00	2,840(8)	166

¹ Операция симметрии: 1/2—*x*, 1/2+*y*, 1/2—*z*.

Таблица 2

Параметры π — π -взаимодействия ионов TBA²⁻ в кристалле I

Cg _i —Cg _j	d(Cg—Cg), \AA	α , град.	β , град.	γ , град.	Cg _i —p, \AA	Сдвиг, \AA
Cg ₁ —Cg' ₁	3,865(5)	0	17,59	17,59	3,684(3)	1,168

Cg₁ — плоскость кольца N1, C2, N3, C4, C5, C6. Cg'₁ получено из Cg₁ преобразованием [x, y, 1—z].

Работа выполнена при финансовой поддержке гранта Президента РФ для поддержки ведущих научных школ РФ (НШ-4828.2012.2) и Федеральной целевой программы "Научные и научно-педагогические кадры инновационной России на 2009—2013 годы" (государственные контракты № 02.740.11.0269 и № 02.740.11.0629).

СПИСОК ЛИТЕРАТУРЫ

1. Bondock S., Tarhoni A. El-Gaber, Fadda A.A. Phosphorus Sulfur Silicon Relat. Elem. – 2007. – **182**. – P. 1915 – 1936.
2. Balas V.I., Hadjikakou S.K., Hadjiliadis N. et al. // Bioinorg. Chem. Appl. – doi:10.1155/2008/654137
3. Yamanari K., Kida M., Fuyuhiro A. et al. // Inorg. Chim. Acta. – 2002. – **332**, N 1. – P. 115 – 122.
4. Madsen I.C., Hill R.J. // J. Appl. Crystallogr. – 1994. – **27**. – P. 385 – 392.
5. Diffrac-Plus Basic XRD Wizard. 2002—2007 Bruker AXS GmbH, Karlsruhe, Germany.
6. David W.I.F., Shankland K., Streek J. et al. // J. Appl. Crystallogr. – 2006. – **39**. – P. 910 – 915.
7. Bruker AXS TOPAS V4: General profile and structure analysis software for powder diffraction data. – User's Manual, Bruker AXS, Karlsruhe, Germany (2008).
8. Головнев Н.Н., Молокеев М.С., Белаш М.Ю. // Журн. структур. химии. – 2013. – **54**, № 3. – С. 521 – 525.
9. Brandenburg K., Berndt M. DIAMOND — Visual Crystal Structure Information System CRYSTAL IMPACT, Postfach 1251, D-53002 Bonn.
10. PLATON – A Multipurpose Crystallographic Tool. Utrecht University, Utrecht, The Netherlands, 2008.
11. Стил Дж.В., Этвуд Дж.Л. Супрамолекулярная химия. Ч.1-2. – М.: ИКЦ "Академкнига", 2007.